

タイで結合した曲がり部材の曲げに関する基礎的性状について

熊本大学○学生員 河崎貴仁
 国土工営コンサルタンツ株 正員 石原 元
 熊本大学 正員 山尾敏孝

1. まえがき

著者らは、タイで結合した曲がり部材を橋脚に適用する場合の静的及び動的挙動について明らかにしてきた。^{1), 2)}しかし、一定軸力に水平力が加わる場合には橋脚固定部付近が弱くなることが判明した³⁾。そこで、本研究では、この問題に対処するため種々の形状のモデルにより崩壊メカニズムなどの特性を明らかにし、曲がり部材を有効に活用する方法を確立することを目的としている。

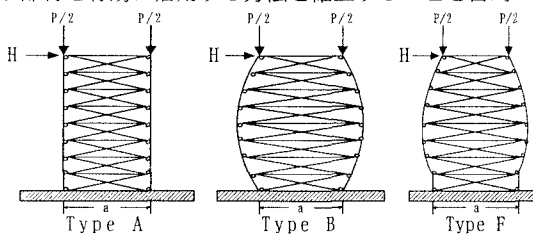


図1 解析モデル

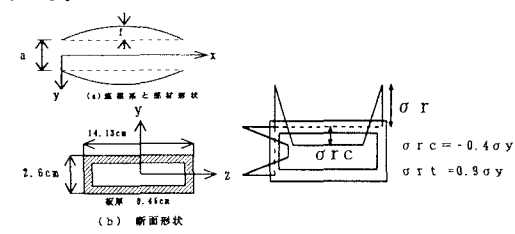


図2 主部材の形状

図3 残留応力

2. 解析モデル

解析モデルは図1に示すように、2本の真直ぐな部材をタイ及び斜材で結合したモデルをType Aとし、主部材を曲がり部材としたものをType Bとする。Type Fは、Type Bの基部からL/8点までを真っ直ぐなものにした。境界条件は柱頭部を自由端、基部を固定端とし、タイ及び斜材と主部材との結合部はピン結合となっている。図2には解析に用いた主部材の断面形状と座標系を表わしており、モデルの主部材1本の曲げ剛性はEIとし曲がり部材の形状は放物線とする。表1に解析モデルの諸元を表しているが、Lは主部材の部材長、aは主部材基部間の距離を示している。fL、タイの本数は既往の研究結果²⁾よりそれぞれ0.05、7本としている。また、タイ及び斜材の断面は正方形断面で、その断面積は主部材の20%程度とし、主部材の残留応力を図3のような応力分布を考慮した。本解析では、弾塑性骨組解析法を用いて、図1のように一定軸力のもとで水平力を載荷して行った。一定軸力として主部材の降伏荷重P_yの20%を載荷した。

3. 解析結果と考察

図4は、3Typeのモデルの水平荷重-水平変位曲線である。縦軸に水平荷重Hを基部が降伏する時の荷重H_dで無次元化したものをとり、横軸はモデル頭部の水平変位Vをとっている、図中の矢印はそれぞれのモデルにおいて基部に塑性化が始まった所である。図をみると、Type Aの方がType Bより変位が抑えられていることがわかる。Type A、Bの最大荷重は殆ど同じくらいであるが、Type Bの主部材の基部がType Aよりも早く降伏したことが原因であると考えられる。なお、H_d=3600kgfであり図に示すようにType AはおよそH=4600kgf、Type BはおよそH=4300kgfで降伏している。それに比べてType FはおよそH=5400kgfで降伏しており、最大荷重も上昇し変位も抑えられている。

表1 解析モデル諸元

ヤング係数 E (tf/cm ²)	210
降伏応力 σ _y (kgf/cm ²)	3200
細長比 L/r	150
主部材の断面積 (cm ²)	14.13
タイと斜材1本の断面積 (cm ²)	3.24
基部の間隔 a (cm)	36

図 5 は主部材の軸力分布を示している。縦軸は主部材の基部から頭部までを表わし、横軸は軸力をとっている。基部に近づくにつれ主部材の軸力は大きくなっているが、Type B と Type F の主部材にかかる軸力は Type A と比較して少し小さくなっている。主部材間が最も広くなっているあたりから軸力の上昇に変化がみられる。これは斜材にかかる軸力とタイにかかる軸力に関係していると考えられるので、図 6 に斜材の軸力分布を示す。図からわかるように、Type A では基部から頭部まで斜材にかかる軸力が一定に対して、曲がり部材を用いた Type B, F での斜材にかかる軸力は頭部の方では小さく、基部の方では大きくなっている。ここには示していないが、タイの軸力分布でも Type A はほぼ一定の値を示しており、Type B と Type F は L/2 点では Type A とほぼ同じ値であるが L/2 点から基部、頭部に近づくにつれてタイの軸力は大きくなっている。よって、Type B と Type F では Type A に比べて、主部材の軸力がタイや斜材に依存していると思われる。

図 7 は主部材の曲げモーメント分布を示しているが、基部から L/4 点の位置より基部にかけて曲げモーメントの値が増加しているのが分かる。また、Type B における基部付近の曲げモーメントは、Type A, Type F のおよそ 2 倍もある。この曲げモーメントの影響で基部が早期に塑性化したため弱くなっていると思われる。しかし、基部から L/8 点までを直線材にした Type F のモデルでは、Type A と似たような曲げモーメントの分布となっており、曲がり部材を用いてるにもかかわらず、小さな値となっている。また、Type F では曲っている所から真っ直ぐに変わる所で曲げが反対まわりに変化している。そのため、基部の曲げが Type B に比べて小さくなっていると考えられ、Type B よりも基部が強くなっているようである。図 8 は主部材の変形図を示している。この図をみると、Type B が最も大きく変形しているのがわかる。この変形によって、Type B にかかる軸力は大きく偏心している。偏心することにより、基部にかかる曲げモーメントが大きくなっていると思われる。

なお、詳細については講演当日発表予定である。

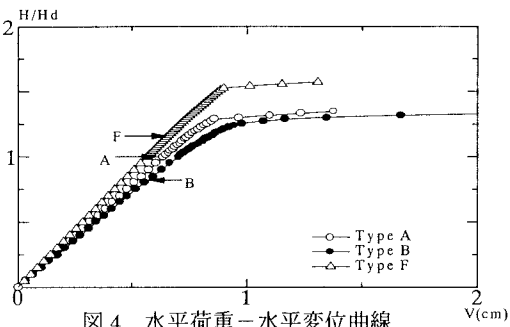


図 4 水平荷重 - 水平変位曲線

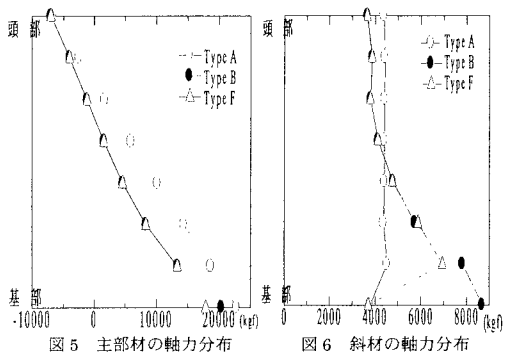


図 5 主部材の軸力分布

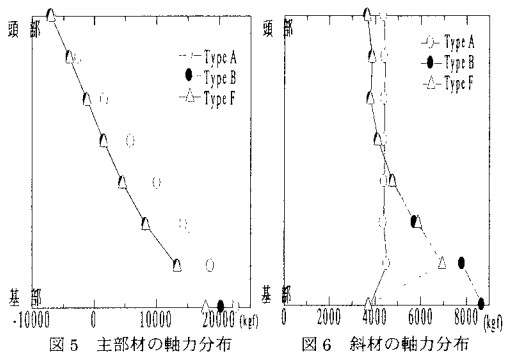


図 6 斜材の軸力分布

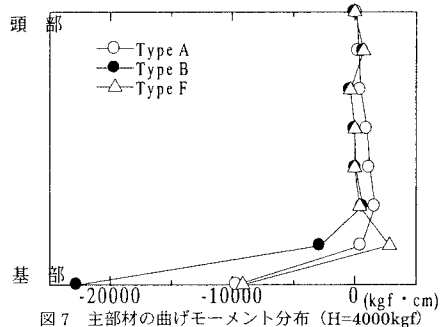


図 7 主部材の曲げモーメント分布 ($H=4000\text{kgf}$)

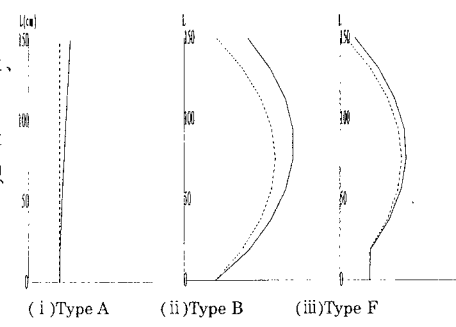


図 8 変形図 ($H=4000\text{kgf}$)

参考文献

- 1) 山尾他：タイで結合した 2 本の曲がり部材の座屈強度と挙動について、構造工学論文集, Vol. 41A, 1995.
- 2) 石原 完：タイで結合した曲がり部材の強度特性について、平成 7 年度熊本大学修士論文, 1996.
- 3) 永田涼二：曲がり部材で構成された鋼製橋脚の耐荷力特性に関する研究、平成 8 年度熊本大学卒業論文, 1997.